

اثر ایجاد موتاسیون V364D در انتهای کربوکسیل کانال پتاسیمی ROMK2 بر روی روند آندوسیتوز آنها (Kir1.1b)

دکتر سعید حاجی هاشمی^{1*}، دکتر استنلی وايت²

1- استادیار، دکتری تخصصی فیزیولوژی، عضو هیئت علمی، گروه فیزیولوژی، دانشکده پزشکی، دانشگاه علوم پزشکی اراک

2- استاد، دکتری تخصصی فیزیولوژی، عضو هیئت علمی، انسیتوی غشاء و بیولوژی سیتم‌ها، دانشگاه لیدز، انگلستان

تاریخ دریافت: ۸۵/۹/۲۲، تاریخ پذیرش: ۸۶/۱/۲۲

چکیده

مقدمه: مطالعات انجام شده نشان داده که آندوسیتوز کانال‌های پتاسیمی ROMK⁺ برای تنظیم ترشح K⁺ در قسمت‌های انتهای نفرون و مجاری جمع کننده مهم می‌باشد. در این مطالعه اثرات موتاسیون V364D بر پایداری کانال پتاسیمی ROMK2 هنگامی که در غشاء اووسیت بیان می‌شود بررسی گردیده است.

روش کار: در این پژوهش تجربی اووسیت‌های *Xenopus laevis* به روش استاندارد با استفاده از کلازنائز جدا گردیدند. با استفاده از روش quick-change در انتهای کربوکسیل کانال پتاسیمی ROMK2 موتاسیون زای مستقیم cRNA که ROMK2 و موتاسیون V364D را کد می‌کرد، سه روز قبل از قرار دادن در محلول BFA (زمان صفر) به اووسیت‌ها تزریق می‌شد. به محیط کشت برفلدین A (+BFA) به مقدار ۵-۵ میکرومولار (مهار کننده انتقال پروتئین‌های ساخته شده به غشاء) یا اتانول به عنوان حلال BFA (-) اضافه گردید. با استفاده از تکنیک ثابت نگه داشتن ولتاژ با استفاده از دو الکترود جریان یونی و پتانسیل استراحت غشاء اووسیت‌ها پس از بیان کانال‌های پتاسیمی ROMK2 و موتاسیون V364D اندازه‌گیری گردید. جهت تجزیه و تحلیل اطلاعات از آنالیز واریانس یک طرفه و تست تی آموزشی استفاده شد.

نتایج: یافته‌های حاصل نشان داد اثر BFA بر روی میزان جریان به صورت وابسته دوز است. بر خلاف کانال‌های پتاسیمی ROMK2 اووسیت‌هایی که موتاسیون V354D را بیان می‌کردند در هیچ کدام از زمان‌های ثبت مورد نظر در طی دوره انکوبه شدن در BFA در هر دو غلظت ۵ و ۲۵ میکرومولار کاهشی در میزان جریان یونی این کانال پتاسیمی دیده نشد. برای ROMK2 پس از این که اووسیت‌ها ۴۸ ساعت تحت تأثیر BFA بودند میزان کسر جریان برابر با ۰/۰۵±۰/۰۴ (n=16) بود در حالی که برای موتاسیون V364D برابر با ۰/۰۹±۰/۱۷ بود.

نتیجه گیری: نتایج، افزایش پایداری و توقف آندوسیتوز کانال‌های پتاسیمی ROMK2 غشاء با ایجاد موتاسیون V364D را نشان می‌داد. بنابر این باید بین انتهای کربوکسیل کانال‌های پتاسیمی ROMK2 و اجزاء مسیر آندوسیتوز تداخل عمل وجود داشته باشد و قسمت داخلی ناحیه PDZ (S-E-V) در آندوسیتوز و پایداری کانال‌های پتاسیمی ROMK2 در غشاء دخالت دارد.

واژگان کلیدی: ROMK2، Mوتاسیون V364D، BFA، ناحیه PDZ

*نویسنده مسئول: اراک، میدان بسیج، مجتمع دانشگاه علوم پزشکی اراک، دانشکده پزشکی، گروه فیزیولوژی

Email:s.hajihashemi@gmail.com

دینامین² نیاز دارد، که به GTP متصل می‌شود و آن را هیدرولیز می‌کند. موتاسیون دینامین آندوسیتوز را مهار می‌نماید. تعداد کانال‌های پتاسیمی در غشاء پلاسمایی بیان‌گر تعادل دینامیکی بین روندهای جایگزین کردن اگروسیتوزی کانال پروتئینی و آندوسیتوز برگشتی آن می‌باشد. مطالعات اخیر نشان داده است که آندوسیتوز کانال‌های پتاسیمی ROMK برای تنظیم ترشح K^+ در مجاري جمع کننده کلیه مهم می‌باشد⁽⁵⁾. اخیراً وانگ و همکاران گزارش کردند که فعالیت cSrc کیناز (ایزوفورم PTKs) در کلیه موش‌های رات برای تنظیم تعداد کانال‌های پتاسیمی غشاء راسی لازم است و بارزیم دریافت K^+ در این حیوانات رابطه‌ای معکوس دارد⁽⁸⁾. مهارگران تیروزین کیناز و تیروزین فسفاتاز تعداد کانال‌های پتاسیمی را در ثبت‌های پچ کلامپ³ از سلول‌های مجاري جمع کننده (CCDs) جدا شده رات و کانال‌های ROMK1 بیان شده در اووسیت‌ها و هم‌چنین سطح فعالیت cSrc کیناز به ترتیب افزایش و کاهش می‌دهند. با استفاده از مهارگران آندوسیتوز اثرات مهار کننده‌های تیروزین کیناز و فسفاتاز بر روی فعالیت این کانال‌های پتاسیمی جلوگیری می‌گردید^(9,46). این نتایج نشان می‌دهد که تنظیم آندوسیتوزی کانال‌های ROMK مکانیسم مهمی است که ترشح پتاسیم به وسیله مجاري جمع کننده را توسط رژیم دریافت پتاسیم تحت تأثیر قرار می‌دهد. تغییر در رژیم دریافت پتاسیم، فعالیت cSrc تیروزین کیناز و تیروزین فسفاتاز مربوطه را تغییر می‌دهد که به نوبه خود میزان آندوسیتوز و یا اگروسیتوز کانال‌ها را تغییر می‌دهد. پروتئین‌ها از چند طریق از غشاء پلاسمایی برداشته می‌شوند که شامل هر دو نوع مکانیسم وابسته و غیر وابسته به کلاترین می‌باشد⁽¹⁰⁾. گوردون و همکاران نشان داده‌اند که به دنبال تزریق cRNA به صورت *in vitro*، اووسیت‌ها پروتئین جدید را از روی cRNA الگو در تعداد کمی بیشتر با چند

مقدمه

سیستم‌های دفعی ترکیب شیمیایی مایعات بدن را با دفع مواد زائد متابولیک و نگهداری مقادیر مناسبی از آب، نمک و مواد غذایی تنظیم می‌کنند. کلیه‌ها، کبد، ریه‌ها و پوست اجزا سیستم دفعی می‌باشند. کلیه‌ها اندام‌های مسئول نگهداری حجم و ترکیب یونی مایعات بدن هستند. نفرون واحد ساختمانی و عملی کلیه است. عمل انتقال دهنده ابی تلیوم نفرون‌ها به چگونگی توزیع پروتئین‌ها و لیپیدها در غشاء رأسی و قاعده‌ای - جانبی بستگی دارد. با وجود آندوسیتوز مدام این توزیع نامتقارن در غشاء رأسی و قاعده ای - جانبی توسط روندهای توزیع کننده پروتئین‌ها و احتباس انتخابی پروتئین‌ها به کمک تداخل با اسکلت سلولی نگاه داشته می‌شود^(1,2). ایزوفورم‌های مختلف کانال پتاسیمی ROMK در قسمت‌های انتهای غشاء راسی سلول‌های نفرون و در مجاري جمع کننده حضور دارد و مسئول ترشح K^+ در این قسمت‌ها هستند. موقعیت و محل پروتئین کانال‌های پتاسیمی ROMK در غشاء راسی سلول‌های کلیه شناسایی شده است⁽³⁾. کانال ROMK1 (K_{ir}1.1a) به طور گسترده ROMK2 در مجاري جمع کننده قشری بیان می‌شود. K_{ir}1.1b (K_{ir}1.1c) در بخش قشری قسمت ضخیم بازوی بالا رونده لوله هنله، لوله دور و مجاري جمع کننده قشری و هم‌چنین لوله هنله، لوله دور و مجاري جمع کننده قشری و هم‌چنین ضخیم بازوی بالا رونده لوله هنله و لوله دور یافت می‌شوند⁽⁴⁾.

در سلول‌های پستانداران چندین مسیر از جمله فاگوسیتوز، داخل بردن از طریق کاوولا¹ (نواحی بسار کوچکی که غنی از کلسترول و گلیکواسفتگولیپید است) و آندوسیتوز به واسطه کلاترین برای آندوسیتوز وجود دارد. نواحی پوشیده شده کلاترینی از دو پروتئین کلاترین و آدپتور کلاترین تشکیل شده است. جوانه زدن از غشاء پلاسمایی در آندوسیتوز به واسطه کلاترین به پروتئینی به نام

2 - Dynamin.

3 - Patch Clamp.

1 - Caveolae.

گردید و هر بار از 10 عدد از اووسیت‌ها ثبت گرفته شد. حیوانات در تانک‌های پلاستیکی و آب با درجه حرارت 19-23 درجه سانتی گراد در شرایط 12 ساعت تاریکی و 12 ساعت روشنایی نگهداری می‌شدند. به طور خلاصه حیوانات در محلول بیهوش کننده ترایکن 2 درصد³ با pH 7/80 قرار می‌گرفتند. بعد از بیهوش شدن، حیوان با جدا کردن سر و تخربی طناب نخاعی کشته شد. اووسیت‌ها به همان روش پروتکل استانداردی که توسط کویر و همکارانش توصیف شده است، تحت شرایط آسپتیک جدا و نگهداری شدند⁽¹⁴⁾. همه محلول‌ها با عبور از فیلترهای با قطر منفذ 0/2 میکرومتر استریل شدند. به طور خلاصه لوب‌های تخدمان جدا شده و به تکه‌های به اندازه تقریبی 1×1×0/5 سانتی متر بریده شدند و به داخل لوله‌های کشت 50 میلی لیتری منتقل گردیدند و بر روی یک شیکر افقی⁴ به مدت یک ساعت در محلولی فاقد کلسیم (Ca²⁺ ND96 - 0) قرار گرفتند، هر ده دقیقه محلول آن با محلول تازه تعویض شد. اووسیت‌ها دوبار در محلول فاقد کلسیم (Ca²⁺ ND96 - 0) محتوی 2 میل گرم در میلی لیتر کلائز (Type 1A) در مدت 20 دقیقه قرار گرفتند. اووسیت‌های سالم در مراحل V و VI با توجه به قطر و شکل آنها شناسایی و در زیر میکروسکپ جدا شدند و در محلول OR3 در 18 درجه سانتی گراد در انکوپاتور سرد⁵ نگهداری شدند. پس از به دست آوردن منحنی دوز- پاسخ cRNA به مقدار 1 نانوگرم در حجم نهایی 50 نانوگرم تزریق گردید و به اووسیت‌های کنترل 50 نانوگرم آب تزریق گردید. با استفاده از تکنیک ثابت نگه داشتن ولتاژ با استفاده از دو الکترود (TEVC⁶) جریان یونی مربوط به کانال‌های پتانسیمی ROMK2 رات اندازه گیری گردید.

3 - Tricaine methansulfonate.

4 - Rotatest R100, Luckham.

5 - LMS: Jencons Scientific Ltd.

6 - Two Electrode Voltage camp.

برابر سطح همان نوع پروتئین با منشاء داخلی خود اووسیت می‌سازند. بنابراین سیگنال بزرگی که ایجاد می‌شود به طور مشخص نتیجه تزریق cRNA می‌باشد(شکل 1). با وجود مطالعات گسترده الکتروفیزیولوژی انجام شده بر روی کانال پتانسیمی ROMK اطلاعات کمی درباره مکانیسم‌های انتقال دهنده کانال در داخل سلول و مبادله شدن آن با غشاء وجود دارد. زنگ و همکارانش شواهد غیر قابل انکاری را برای آندوسیتوز کانال پتانسیمی¹ (CCV) از طریق وزیکول‌های پوشیده با کلاترین (ROMK) گزارش نموده‌اند و اهمیت و نقش اسیدهای آمینه ناحیه ROMK (K_{ir}1.1) را در این روند مشخص نموده‌اند⁽⁷⁾. توالي انتهای کربوکسیل کانال‌های پتانسیمی ROMKs انسان و جوندگان به مقدار زیادی در طول تکامل حفظ شده‌اند و دارای چند الگودر داخل قسمت‌های انتهای آنها هستند که در تعیین محل قرارگیری کانال‌های پروتئینی دارای اهمیت می‌باشند(شکل 2). از جمله یک الگوی YDNPN که با الگوی درون بری² (Y/F)(D/E)MPXY از پروتئین‌های غشایی که از طریق CCVs به داخل برده می‌شوند، به صورت هومولوگ است⁽¹²⁾. روش نشده است که آیا موتاسیون اسید آمینه والین در موقعیت 364 (V364D) در انتهای کربوکسیل پایداری و آندوسیتوز این کانال هنگامی که ROMK2 به صورت پایدار در اووسیت بیان می‌شود را تحت تأثیر می‌گذارد⁽¹³⁾. در این تحقیق آزمایشاتی انجام گرفت تا نقش V364D را در کنترل فعالیت عملی ROMK2 در غشا پلاسمایی مشخص نماید.

روش کار

در این تحقیق تجربی حیوانات ماده و بالغ *Xenopus laevis* Blades Biologicals از شرکت خریداری گردیدند. برای انجام آزمایشات هر آزمایش پنج بار تکرار

1 - Clathrin-Coated Vesicles .

2 - Internalization motif.

Voltage Clamp mode به وضعیت داده شد. در ابتدا پتانسل در 50- میلی ولت نگاه داشته شد و سپس از 120- تا 100+ میلی ولت تغییر داده شد. در هر مرحله به اندازه 20 میلی ولت تغییر داده شد و به مدت 50 میلی ثانیه در هر ولتاژ نگاه داشته شد و بین هر مرحله ولتاژ به 50- میلی ولت بر گردانده شد. برای هر ثبت این پروتکل 5 بار تکرار گردید و متوسط سیگنال‌ها محاسبه گردید. باریم ROMK به عنوان مهار کننده کانال‌های پتانسیمی در مطالعات TEVC به کار برده شد. بعد از ثبت نمودن رابطه ولتاژ- جریان (I-V) با محلول کنترل ND96، محلول ND96 حاوی 5 میلی مولار از BaCl₂ بر روی اووسیت‌ها جریان می‌یافتد تا این که میزان جریان به حالت پایدار برسد. در این حالت ثبت رابطه ولتاژ- جریان (I-V) تکرار می‌شود. پروتکل این آزمایشات به این صورت انجام شده است. cRNA که ROMK2 را کد می‌کرد سه روز قبل از قرار دادن در محلول BFA (زمان صفر) به اووسیت‌ها تزریق می‌شد و در محیط کشت OR3 انتکوبه می‌گردید. در زمان صفر به محیط کشت حاوی BFA (7+BFA) به مقدار 5-25 میکرومولار یا حلال 15 (اتانول) اضافه گردید. محلول استوک BFA به صورت 15 میلی مولار در اتانول به عنوان حلال تهیه گردید. ماده‌ای است که انتقال پروتئین از شبکه اندوپلاسمی (ER) به دستگاه گلزاری را مسدود می‌نماید، بنابر این پروتئین‌هایی که جدید ساخته شده به غشاء سلول اضافه نمی‌شود و میزان کاهش در تعداد کانال‌ها میزان آندوسیتوز آنها را نشان می‌دهد. در طول دوره آزمایشات، محیط کشت هر روز با محیط کشت تازه تعویض گردید. در همه آزمایشات از پلاسمید pTLN-OMKR2 (اهدایی توسط دکتر گوردون کویر) استفاده گردید. برای ایجاد موتاسیون در انتهای کربوکسیل کانال پتانسیمی ROMK رات با استفاده از روش quick-change موتاسیون زای مستقیم جایگاه⁸

7 - Brefeldin A.

8 - Site-directed mutagenesis.

براساس تکنیک TEVC غشاء اووسیت توسط دو الکترود، یک الکترود برای ثبت ولتاژ (الکترود ولتاژی) و دیگری برای تزریق جریان (الکترود جریان) سوراخ گردید. پتانسیل غشاء به دنبال دریافت ولتاژ توسط الکترود ولتاژی با ولتاژ مورد درخواست مقایسه می‌شود و اختلاف بین این دو مقدار با تزریق جریان به صفر می‌رسد. آزمایشات ولتاژ کلمپ با استفاده از آمپلی فایر Clamp 500B-¹ Gene انجام گرفت. داده‌ها با استفاده از نرم افزار Clampex² بر روی یک کامپیوتر IBM مجهر شده به یک مبدل آنالوگ به دیجیتال³ ثبت گردیدند. محفظه اووسیت RC-3Z⁴ مورد استفاده قرار گرفت که به یک پمپ خلاء متصل می‌شد که مکش محفظه اووسیت را تأمین می‌کرد. میزان جریان محلول به میزان 5 میلی لیتر در هر دقیقه بر روی اووسیت‌ها سرریز می‌شد. الکترود رفرانس متصل به زمین (سیم Ag/AgCl₂) در داخل محلول پرفیوژن کننده اطاقک قرار گرفت. الکترودها از لوله‌های موینه شیشه‌ای بروسیلیکات با قطر خارجی 1/5 میلی متر و قطر داخلی 0/86 میلی متر⁵ با استفاده از یک میکرو الکترود پولر عمودی⁶ کشیده شدند. الکترودها با کلرور پتانسیم 3 مولار پر شدند و الکترودهای با مقاومت 0/5-2/5 میلی اهم برای ثبت‌های داخل سلولی مورد استفاده قرار گرفتند.

نحوه گرفتن ثبت‌های ولتاژ کلمپ
میکروالکترودها با زاویه 45 درجه نسبت به سطح اووسیت به آرامی به درون اووسیت‌ها وارد گردید. قبل از وارد کردن میکروالکترودها آنها با الکترود رفرانس صفر گردیدند. اندازه‌گیری‌ها هنگامی انجام گرفت که هر دو الکترود ولتاژ و جریان، پتانسیل غشائی یکسانی را نشان می‌دادند. هنگامی که پتانسیل غشائی ثابت گردید آمپلی فایر از حالت Setup

1 - Axon Instruments, Foster City, CA, USA.

2 - pClamp, Axon Instruments, version 6.

3 - Digidata 1200, Axon Instruments.

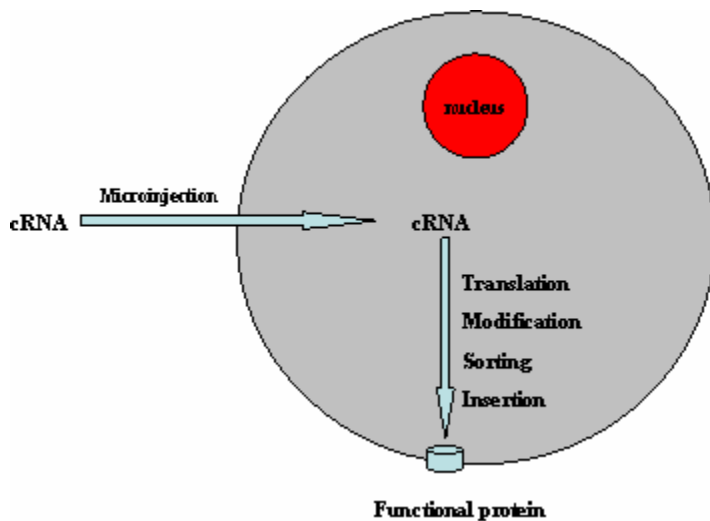
4 - Warner Instruments Inc.

5 - GC150F-15 Harvard Apparatus.

6 - Microelectrode puller PP-83: Narishige, Japan.

شده است. برای مقایسه نتایج آنالیز واریانس یک طرفه و آزمون تی دانش آموزی به کار برده شد. سطح معنی دار بودن 5 درصد می باشد.

ایجاد گردید. موتاسیون V364D یک موتاسیون در قسمت داخلی ناحیه PDZ تولید شد. در همه موارد پلاسمید با استفاده از I MLU به صورت خطی تبدیل گردید و توسط آنزیم RNA SP6 پلیمراز تولید گردید. نتایج به صورت میانگین همراه با انحراف استاندارد ارائه



شکل ۱. روش بیان پروتئین با منشاء خارجی در اووسیت های *Xenopus laevis*



Human
Rat
Mouse

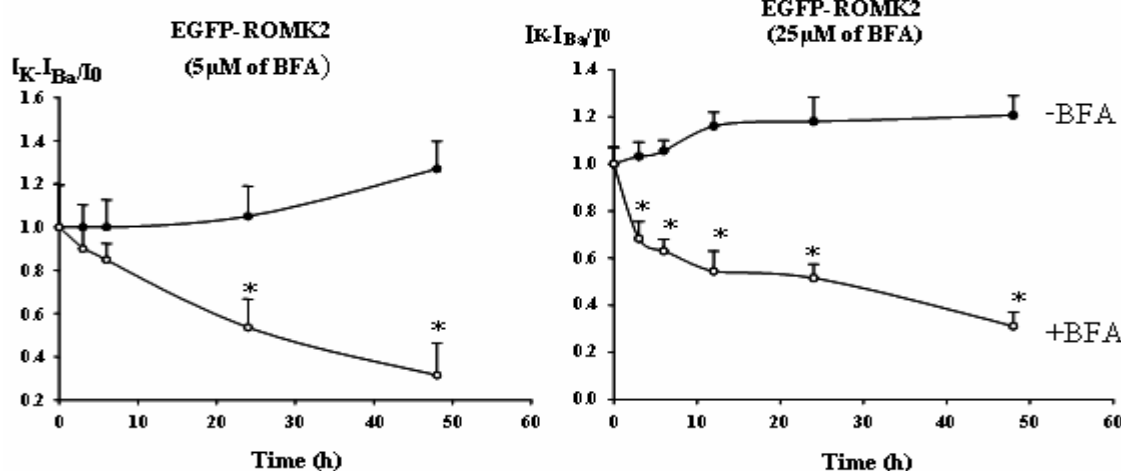
شکل ۲. اسید های آمینه انتهای های کربوکسیل انسان، رات و موش مورد قبول واقع شده برای درون بری به واسطه کلاترین (پر رنگ شده) را نشان می دهد. V قرمز رنگ شده به والین در موقعیت ۳۶۴ مربوط می شود.

نتایج
حضور 25 میکرومولار BFA حدود 15-10 ساعت می باشد. برای ROMK2 پس از این که اووسیت ها 48 ساعت تحت تأثیر BFA بودند میزان کسر جریان برابر با 0.24 ± 0.05 (n=16) بود. شکل 4 میزان جریان از دو عدد اووسیت از این سری از آزمایشات بعد از 48 ساعت انکوبه شدن در 25 میکرومولار BFA را نشان می دهد و کاهش واضحی در سطح جریان حساس به باریم را نشان می دهد. اثر برفلدین A (BFA) بر روی موتاسیون ROMK2 کانال پتانسیمی V354D: اووسیت هایی که موتاسیون V354D کانال پتانسیمی ROMK2 را بیان می کرند در هیچ کدام از زمان های ثبت مورد نظر در طی

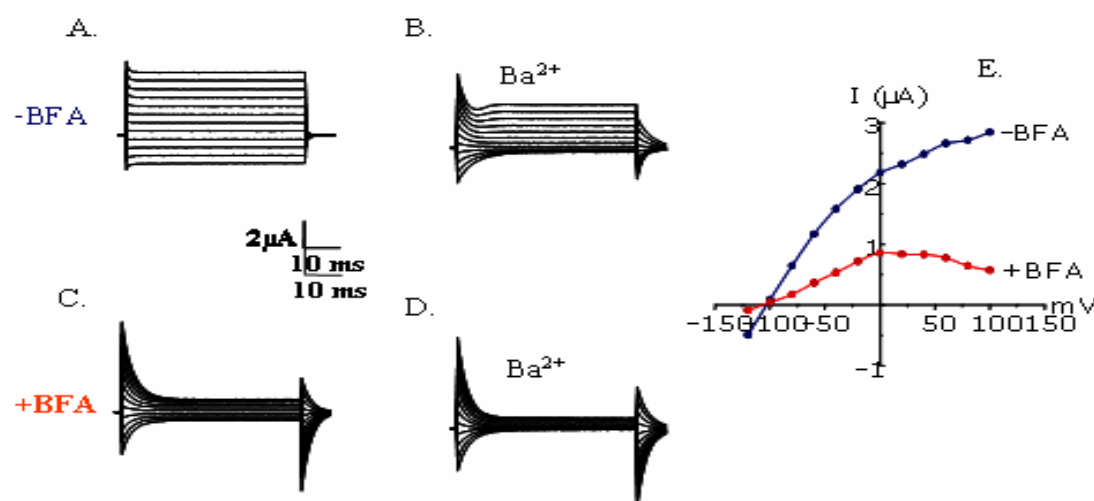
اثر برفلدین A (BFA) بر روی کانال پتانسیمی ROMK2: انکوبه کردن کانال پتانسیمی ROMK2 در هر دو محلول 5 و 25 میکرومولار BFA سبب کاهش میزان جریان گردید. اثر BFA بر روی جریان به صورت وابسته دوز است به این صورت که با دوز 5 میکرومولار BFA میزان جریان بعد از 24 ساعت کاهش معنی داری پیدا می کرد. در حالی که با دوز 25 میکرومولار BFA میزان جریان در تمامی زمان ها (48, 24, 6, 12, 3 ساعت پس از انکوبه شدن) کاهش معنی داری مشاهده گردید (شکل 3). زمانی که کاهش جریان ROMK2 به نصف می رسد در

می دهد. چنان که پیش بینی می شد اگر تعداد کل کانال های BFA پتاسیمی ROMK2 در غشاء اووسیت توسط V_M کاهش یابد پتانسیل استراحت غشاء دپلاریزه می شود و E_K از دور می شود و بر خلاف آن V_M در اووسیت هایی که V364D را بیان می کنند تحت تأثیر BFA قرار نگرفت (شکل ۷).

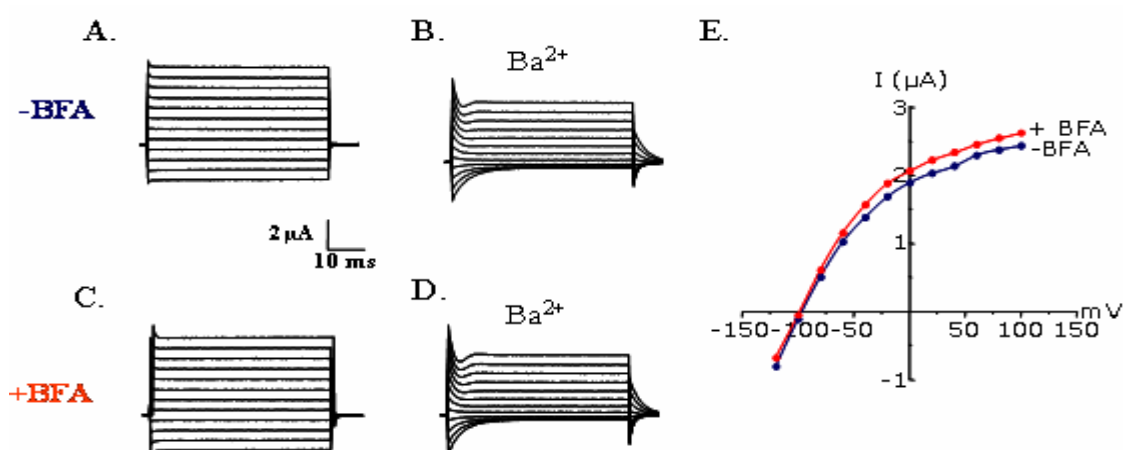
دوره انکوبه شدن در BFA در هر دو غلظت ۵ و ۲۵ میکرو مولار کاهشی در میزان جریان یونی این کانال پتاسیمی نشان نداند. پس از این که اووسیت ها ۴۸ ساعت تحت تأثیر BFA بودند میزان کسر جریان برابر با $1/17 \pm 0/09$ ($n=16$) بود. شکل ۵ نمودارهای جریان از دو عدد اووسیت که موتاسیون V354D را بیان کرده اند را، بعد از ۴۸ ساعت انکوبه شدن در حضور BFA نشان می دهد. شکل ۶ کل دوره زمانی برای دوزهای بالا و پایین BFA را نشان



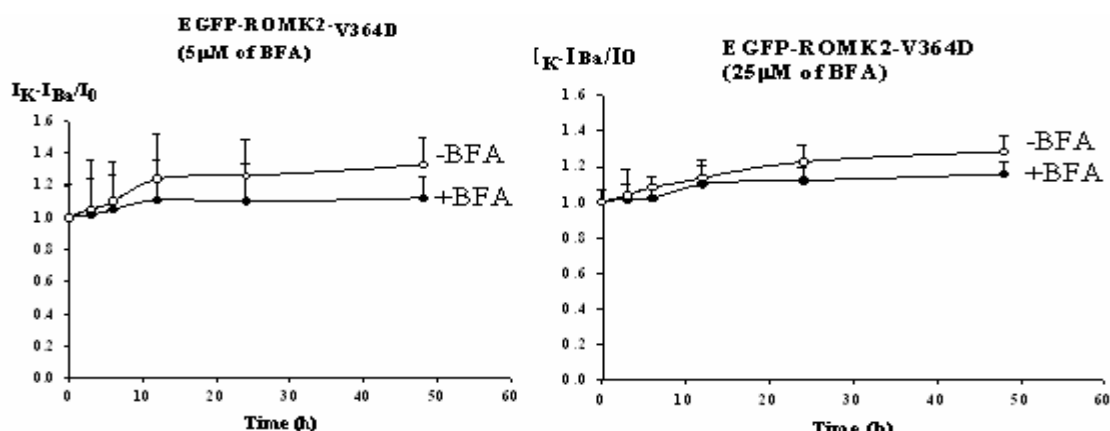
شکل ۳. کاهش کسر جریان در زمان های مختلف برای ROMK2 در حضور یا غیاب ۵ میکرو مولار از BFA (منحنی سمت چپ) و ۲۵ میکرو مولار از BFA (منحنی سمت راست). دایره های تو خالی در حضور BFA و دایره های تو پر به عنوان کنترل در زمان های مختلف می باشد. داده ها به صورت میانگین همراه با SD نشان داده شده است.



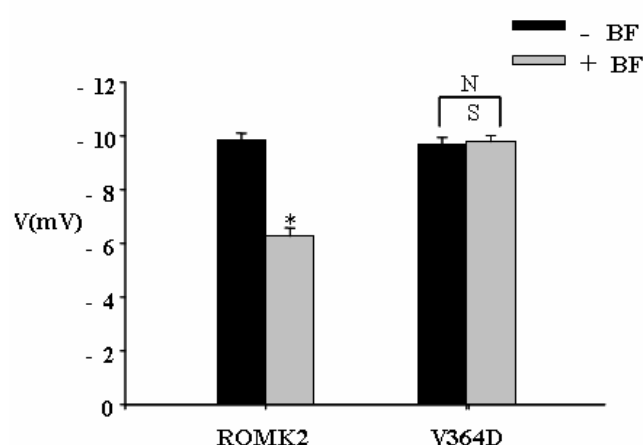
شکل ۴. اثر BFA بر روی کانال پتاسیمی ROMK2 را نشان می دهد. منحنی های ثبت شده A-D از دو اووسیت Xenopus در حضور و عدم حضور ۵ میکرو مولار از کلرور باریم در گروه کنترل (منحنی های B و A) و گروه بعد از ۴۸ ساعت انکوبه شدن در حضور ۵ میکرو مولار از BFA (منحنی های D و C) را نشان می دهد. نمودار E منحنی جریان - ولتاژ (I/V) از همان اووسیت را نشان می دهد.



شکل ۵. اثر BFA بر روی کانال پتاسیمی موتاسیون یافته ROMK2-V364D را نشان می دهد. منحنی های ثبت شده A-D از دو اوسیت در حضور و عدم حضور ۵ میکرو مولار از کلور باریم در گروه کنترل (منحنی های B و A) و گروه بعد از ۴۸ ساعت انکوبه شدن در حضور ۵ میکرو مولار از BFA (منحنی های D و C) را نشان می دهد. نمودار E منحنی جریان - ولتاژ (I/V) از همان اوسیت را نشان می دهد.



شکل ۶. میزان کسر جریان در دوره زمانی ۴۸ ساعت برای ROMK2-V364D در حضور یا غیاب ۵ میکرو مولار از BFA (منحنی سمت راست) و ۲۵ میکرو مولار از BFA (منحنی سمت چپ). دایره های تو خالی در حضور BFA و دایره های تو پر به عنوان کنترل در زمان های مختلف می باشد. داده ها به صورت میانگین همراه با SD نشان داده شده است.



شکل ۷. پتانسیل استراحت اندازه گیری شده در اوسیت هایی که V364D و EGFP-ROMK2 را بیان کرده اند در حضور و غیاب BFA را پس از مدت ۴۸ ساعت نشان می دهد ($n = 24$)

$* = P < 0.001$

ممکن است به صورت مستقیم یا با واسطه پروتئین‌های آدانپتوری باشد که بخش‌هایی از قطعات پلی پپتیدی را تشخیص می‌دهند و با یا بدون تعدیل‌های پس از ترجمه به آنها متصل می‌شوند(18). یکی از مهم‌ترین گروه آدانپتورهای پروتئینی، پروتئین‌های ناحیه PDZ است که حاوی تعداد متغیری از اسیدهای آمینه حدود ۹۰ اسید آمینه است که به طور اختصاصی به قطعات کوتاه در پروتئین‌های C - انتهایی متصل می‌شود. ناحیه PDZ پروتئین تعدیل کننده هستند که در نشانه‌گیری^۱ پروتئین وساخته شدن پروتئین‌های پیچیده نقش دارد. بسیاری از این لیگاندها دنباله‌های سیتوپلاسمی پروتئین‌های عرض غشایی هستند که در نواحی اختصاصی غشاء مانند اتصالات پیچیده اپی‌تلیال به یکدیگر اتصال می‌آیند(19). چندین ناحیه PDZ که مجتمع‌ها را به یکدیگر متصل می‌کند در پولاریته (قطبی شدن) غشا رأسی و قاعده‌ای سلول‌های اپی‌تلیال شرکت دارد(20). توالی اختصاصی تداخل‌های بین پروتئین‌ها اساس را برای مرتب شدن ساختمانی و عملکردی درون سلول‌ها فراهم می‌کند. بعضی از بر هم کنش‌ها توسط نواحی پروتئینی ساختمانی حفظ شده با ناحیه تعدیل کننده و اتصالی PDZ واسطه می‌شود. ناحیه PSD-95 حضور پروتئین‌های همراه اسکلت سلولی همانند PSD-95 حضور دارد و یک نقش مهم در ساختمانهای غشایی دارد. تعدیل کانال‌های پتاپیمی ROMK توسط اسکلت سلولی اتصال بین این کانال‌ها و اسکلت سلولی را تأیید می‌کند. موتاسیون کانال ROMK در موقعیت T332 سبب شیفت بدنه^۲ و یک کدون متوقف کننده زودرس در نزدیک C-انتهایی می‌شود که آمد و شد^۳ کانال به غشاء پلاسمایی را مهار می‌کند و سبب ایجاد سندروم بارتز^۴ می‌شود. در حال حاضر این روشن شده است که پروتئین‌های ناحیه PDZ یک نقش بسیار مهم در هدف‌گیری پروتئین به بخش‌های

بحث

چندین مطالعه نشان داده است که کانال ROMK در غشاء پلاسمایی آندوسیتوز می‌گردد. با استفاده از BFA انتقال کانال‌هایی که به صورت جدید ساخته می‌شوند به غشاء پلاسمایی متوقف گردید. ولی ادامه آندوسیتوز این کانال‌ها در غشاء اووسیت سبب کاهش تعداد کانال‌های پتاپیمی و در نتیجه کاهش میزان جریان یون‌های پتاپیم در ثبت‌های الکتروفیزیولوژی گردید. ثبت‌های الکتروفیزیولوژی به این منظور انتخاب گردید که از نظر کمی برای کانال‌های فعل غشاء بسیار دقیق هستند.

اووسیت‌های *Xenopus laevis* دارای ماشینی برای آندوسیتوز از طریق CCVs است و برای مطالعه آندوسیتوز با واسطه وزیکول‌های پوشیده شده با کلاترین (CCV) بسیاری از کانال‌های یونی از جمله کانال‌های سدیمی اپی‌تلیال (ENaCs)، کانال‌های کلراید و کانال‌های پتاپیمی ROMK1 مورد استفاده قرار می‌گیرند(4,15,16). BFA ماده‌ای است که بر روی آندوسیتوز از طریق CCV در غشاها پلاسمایی تأثیری ندارد(17). آزمایشات ما تأثیر مهاری ماده BFA بر روی ترافیک این پروتئین‌ها را نشان می‌دهد که با مطالعات قبلی دیگران بر روی کانال‌های ROMK1 مطابقت دارد(4). آندوسیتوز از طریق CCVs در غشاء پلاسمایی چندین نقش دارد. از جمله این وظایف نگهداری هموستاز سلولی توسط بازیافت اجزاء پروتئینی به درون غشاء پلاسمایی است که توسط فعالیت مداوم ترشحی، برداشت مولکول‌ها از فضای خارج سلولی و تنظیم تعداد پروتئین‌های غشاء در شرایط فیزیولوژیک و پاتوفیزیولوژیک انجام می‌شود.

بر هم کش پروتئین با پروتئین برای بسیاری از روندهای سلولی حیاتی است و توسط بخش‌های پروتئینی حفظ شده در طول تکامل میانجی گری می‌شود. تنظیم بسیاری از اعمال مختلف سلولی نه تنها به خصوصیات ساختمانی و کاتالیتیک هر کدام از پروتئین‌ها بلکه به تداخل فضایی و زمانی بین آنها بستگی دارد. این بر هم کنش‌ها

1 - Targeting.

2 - Frame shift.

3 - Trafficking.

4 - Bartter's syndrome.

ROMK2 با واسطه CCV توسط تیروزین کیناز و فسفاتاز بررسی می شود.

نتیجه گیری

این نتایج نشان می دهد که کاهش پیش رونده در میزان جریان از کانال های 2 ROMK در اثر BFA ناشی از تأثیر بر روی باز شدن کانال نیست بلکه نتیجه کاهش در تعداد کانال های عمل کردی در غشاء پلاسمایی است. ROMK2 موتاسیون V364D مقاومت پروتئین کانال های ROMK2 نسبت به آندوسیتوز را سبب می شود که با این عقیده توافق دارد که بین C- انتهای کانال های پتاپیمی و ROMK2 و اجزاء مسیر آندوسیتوز تداخل عمل وجود دارد و ممکن است که یک ناحیه PDZ دارای عملکرد مناسب را برای آندوسیتوز نیاز داشته باشد.

منابع

1. Bomsel M, Prydz K, Parton RG, Gruenberg J, Simons K. Endocytosis in filter-grown Madin-Darby canine kidney cells. *J Cell Biol* 1989; 109: 3243-3258.
2. Parton RG, Prydz K, Bomsel M, Simons K, Griffiths G. Meeting of the apical and basolateral endocytic pathways of the Madin-Darby canine kidney cell in late endosomes. *J Cell Biol* 1989; 109, 3259-3272.
3. Xu JZ, Hall AE, Peterson LN, Bienkowski MJ, Eessalu TE, Hebert SC. Localization of the ROMK protein on apical membranes of rat kidney nephron segments. *Am J Physiol* 1997; 273: F739-F748.
4. Boim MA, Ho K, Shuck ME, Bienkowski MJ, Block JH, Slightom JL, Yang Y, Brenner BM, Hebert SC. ROMK inwardly rectifying ATP-sensitive K^+ channel II. Cloning and distribution of alternative forms. *Am J Physiol* 1995; 268: F1132-F1140.
5. Moral Z, Dong K, Wei Y, Sterling H, Deng H, Ali S, Gu R, Huang XY, Hebert SC, Giebisch G, Wang WH. Regulation of ROMK1 channels by protein-tyrosine kinase and -tyrosine phosphatase. *J Biol Chem* 2001; 276, 7156-7163.

اختصاصی غشاء و وارد شدن به درون کمپلکس های غول پیکر مولکولی¹ دارد. هم چنین شواهدی وجود دارد که آنها می توانند عمل لیگاند های خودشان را علاوه بر انجام وظیفه همانند یک داربست تنظیم نمایند. این قابلیت اتصال به توالی های C- انتهای کوچک راه ساده مقایسه ای برای پروتئین های PDZ پیشنهاد می کند که با پروتئین های هدف بدون برهم زدن ساختمان و عمل کلی لیگاند هایشان تداخل می نمایند. سوال کلیدی که باقیمانده است، این است که نواحی PDZ چگونه این عمل را انجام می دهد؟ عملکرد کانال می تواند توسط کنترل توزیع کانال به درون نواحی تخصص یافته از غشا های پلاسمایی و یا از طریق اسکلت سلولی تنظیم گردد. برای مثال کانال $K_{ir}2.3$ از طریق نواحی کوچکی از C- انتهایی به اسکلت سلولی متصل می شود که با پروتئین متصل شونده PSD-95 (یک نوع از پروتئین متراکم پس سیناپسی) از PDZ تداخل می کند که به آن اجازه می دهد به رشته های اکتین اسکلت سلولی متصل شود. اسید آمینه سرین در ناحیه C- انتهایی از کانال های $K_{ir}2.3$ برای این بر هم کنش مهم و ضروری است(21). نتایج به دست آمده در این مطالعه بر هم کنش های مشابه را پیشنهاد می کند که ممکن است بیان پروتئین های کانال های ROMK2 در کلیه را تحت تأثیر قرار دهد.

پتانسیل استراحت اندازه گیری شده و هم چنین میزان جریان ثبت شده یون های پتاپیمی از کانال های V364D و ROMK2 در اووسیت هایی که ROMK2 را بیان کرده اند در حضور و غیاب BFA افزایش پایداری و ثبات کانال های پتاپیمی ROMK2 در غشاء با ایجاد موتاسیون V364D را نشان می دهد، که با این عقیده توافق دارد که در تعیین پایداری کانال های پتاپیمی S-E-V و هم چنین آندوسیتوز آنها نقشی به عهده دارد. ROMK در آزمایشات آینده چگونگی تنظیم آندوسیتوز کانال

1 - Supramolecular.

6. Wei Y, Bloom P, Gu R, Wang W. Protein-tyrosine phosphatase reduces the number of apical small conductance K⁺ channels in the rat cortical collecting duct. *J Biol Chem* 2000; 275, 20502-20507.
7. Zeng WZ, Babich V, Ortega B, Quigley R, White SJ, Welling PA, Huang CL. Evidence for endocytosis of ROMK potassium channel via clathrin-coated vesicles. *Am J Physiol Renal Physiol* 2002; 283, F630-F639.
8. Wang W, Lerea KM, Chan M, Giebisch G. Protein tyrosine kinase regulates the number of renal secretory K⁺ channels. *Am J Physiol Renal Physiol* 2000; 278, F165-F171.
9. Hebert SC. An ATP-regulated, inwardly rectifying potassium channel from rat kidney (ROMK). *Kidney Int* 1995; 48, 1010-1016.
10. Conner SD, Schmid SL. Regulated portals of entry into the cell. *Nature* 2003; 422, 37-44.
11. Gurdon JB, Lane CD, Woodland HR, Marbaix G. Use of frog eggs and oocytes for the study of messenger RNA and its translation in living cells. *Nature* 1971; 233:177-182.
12. Mellman I. Endocytosis and molecular sorting. *Annu Rev Cell Dev Biol* 1996; 12, 575-625.
13. Shieh BH, Zhu MY. Regulation of the TRP Ca²⁺ channel by INAD in Drosophila photoreceptors. *Neuron* 1996; 16, 991-998.
14. Cooper GJ, Boron WF. Effect of PCMBS on CO₂ permeability of Xenopus oocytes expressing aquaporin 1 or its C189S mutant. *Am J Physiol* 1998; 275, C1481-C1486.
15. Bradbury NA, Clark JA, Watkins SC, Widnell CC, Smith HS, Bridges RJ. Characterization of the internalization pathways for the cystic fibrosis transmembrane conductance regulator. *Am J Physiol* 1999; 276(4 Pt 1): L659-L668.
16. Shimkets RA, Lifton RP, Canessa CM. The activity of the epithelial sodium channel is regulated by clathrin-mediated endocytosis. *J Biol Chem* 1997; 272(41):25537-25541.
17. Wood SA, Park JE, Brown WJ. Brefeldin A causes a microtubule-mediated fusion of the trans-Golgi network and early endosomes. *Cell* 1991; 67(3):591-600.
18. Scott JD, Pawson T. Cell communication: the inside story. *Sci Am* 2000; 282, 72-79.
19. Radziwill G, Erdmann RA, Margelisch U, Moelling K. The Bcr kinase downregulates Ras signaling by phosphorylating AF-6 and binding to its PDZ domain. *Mol Cell Biol* 2003; 23, 4663-4672.
20. Bilder D, Schober M, Perrimon N. Integrated activity of PDZ protein complexes regulates epithelial polarity. *Nat Cell Biol* 2003; 5: 53-58.
21. Cohen NA, Brenman JE, Snyder SH, Bredt DS. Binding of the inward rectifier K⁺ channel K_{ir} 2.3 to PSD-95 is regulated by protein kinase A phosphorylation. *Neuron* 1996; 17, 759-767.

Effect of the V364D mutation in membrane endocytosis of ROMK2 ($K_{ir}1.1b$)

Hajihashemi S²³, White SJ²⁴

Abstract

Introduction: Recent studies suggest that endocytosis of ROMK channels is important for regulation of K^+ secretion in cortical collecting ducts. In this study the effect of V364D mutation is examined on the membrane turnover and stability of ROMK2 channel when expressing in *Xenopus laevis* oocytes.

Materials and Methods: In this experimental study oocytes were isolated by standard protocols using collagenase (Type 1A). Mutations of the cytoplasmic termini of ROMK2 were constructed using the quickchange approach for site-directed mutagenesis. *Xenopus* oocytes were injected with cRNA encoding ROMK2 or V364D mutant three days prior to treatment with BFA solution (time 0). Brefeldin A (BFA) was added to the OR3 medium (+BFA) at concentrations of 5-25 μM (inhibit insertion of new proteins into the cell membrane) or ethanol as BFA vehicle (-BFA). Two-electrode voltage clamp (TEVC) was used to measure oocyte ROMK-dependent currents and membrane potential. Data was analysed using Student's t-tests or ANOVA as appropriate.

Results: Incubation of oocytes expressing ROMK2 channels in both 5 μM and 25 μM BFA caused a reduction in the normalized steady state currents. The effect of BFA was dose dependent. In oocytes expressing the V364D mutant, there was no decay in current at any time point during incubation with BFA at either 5 μM or 25 μM . The fractional current for ROMK2 at 48h following treatment of oocytes with BFA was 0.24 ± 0.05 ($n=16$) which was significantly different to V364D mutant (1.17 ± 0.09).

Conclusion: These results show that the V364D mutation increases the general stability of ROMK and renders the protein resistant to endocytosis, consistent with the idea that there is an interaction between the C-terminal of ROMK2 and components of the endocytic pathway. A functional PDZ domain (the S-E-V) plays a key role in determining stability of ROMK.

Key words: ROMK2, V354D mutant, BFA, PDZ domain

23 - Assistant professor, department of physiology, school of medical science, Arak University of medical sciences.

24 - Professor, institute of membrane and systems biology, University of Leeds, UK.

This document was created with Win2PDF available at <http://www.win2pdf.com>.
The unregistered version of Win2PDF is for evaluation or non-commercial use only.
This page will not be added after purchasing Win2PDF.